

# ВЗАИМОДЕЙСТВИЕ СФЕРИЧЕСКИ-СИММЕТРИЧНЫХ ЧАСТИЦ В КУБИЧЕСКИХ КРИСТАЛЛАХ

*M. B. Еремин<sup>\*</sup>, K. B. Васин<sup>\*\*</sup>*

*Институт физики Казанского (Приволжского) федерального университета  
420111, Казань, Россия*

Поступила в редакцию 29 мая 2018 г.

Получено аналитическое выражение для энергии взаимодействия двух сферически-симметричных частиц через поле деформаций в кубических кристаллах с точностью до квадратичных членов по параметру анизотропии  $d = c_{11} - c_{12} - 2c_{44}$ . Построены диаграммы областей притяжения и отталкивания частиц, спроектированных на плоскость  $xy$ . Найдено, что при  $d < 0$  области притяжения формируются преимущественно вдоль осей  $x$  и  $y$ . При  $d > 0$  преимущественным направлением притяжения в линейном приближении по параметру анизотропии  $d$  являются диагонали, однако, каждое направление «расщепляется» на два при наличии нелинейных поправок по  $d$ . Попутно отмечены ошибки и опечатки в предшествующих работах, выполненных в приближении изотропной среды ( $d = 0$ ) и в линейном приближении по параметру  $d$ .

**DOI:** 10.1134/S0044451018120143

## 1. ВВЕДЕНИЕ

Вопрос о взаимодействии точечных дефектов, ионов, электронов или спинов в конденсированных средах имеет богатую историю. Достижения в решении этой проблемы освещены в ряде монографий: Ландау, Лифшица «Теория упругости» [1], Косевича [2], Стоунхэма [3], Эшлеби [4], Мура [5] и др. Основополагающей является работа И. М. Лифшица и Розенцвейга [6], в которой был предложен метод решения уравнения упругости через тензор Грина и получен ряд важных соотношений и, в частности, аналитический вид тензора Грина для изотропной среды.

В развитии теории взаимодействия спинов через поле фононов важную роль сыграли работы Аминова, Кочелаева [7] и Орбаха, Тачики [8]. В работе<sup>1)</sup> [9] было доказано, что теория взаимодействия примесных центров произвольной природы через поле деформаций и квантовая теория взаимодействия через поле акустических фононов (в пренебрежении эффектами запаздывания) приводят к одинаковым результатам. При этом было отмечено, что в

рамках теории упругости удается быстрее получить компактные аналитические выражения для энергии взаимодействия примесных центров, нежели в квантово-механических расчетах.

Дальнейшие обобщения теории на случай анизотропных сред стали особенно актуальными в связи с начавшимися исследованиями систем с орбитально-вырожденными состояниями ионов переходных металлов [10] и проблемой объяснения природы страйповых структур [11] в мanganитах, купратах [12], особенности диффузии в пористых средах [13] и полупроводниках [14]. Кроме того, как это было выяснено еще в работах Эшлеби [4], взаимодействие сферически-симметричных включений в изотропной среде вовсе отсутствует. Это обстоятельство дополнительно стимулировало исследования эффектов анизотропии.

Как уже отмечалось [11], анизотропия в кубических кристаллах возникает по двум причинам: 1) параметры связи иона с незаполненной электронной оболочкой с окружающей решеткой в общем случае анизотропны; 2) упругие свойства среды разные вдоль различных направлений. В настоящем сообщении мы обсуждаем наиболее простой, но необходимый для приложений случай: взаимодействующие частицы сферически-симметричны, а кубическая среда характеризуется всеми тремя модулями упругости  $c_{11}$ ,  $c_{44}$  и  $c_{12}$ .

\* E-mail: Mikhail.Eremin@kpfu.ru

\*\* E-mail: KV\_Vasin@stud.kpfu.ru

<sup>1)</sup> В формулах (19a) и (19c) допущены опечатки. Вместо  $+b$  перед последней круглой скобкой в (19a) должно стоять  $(-b)$ , а в (19c) вместо  $-b$  должно быть  $+b$ .

Ниже, как в [6] и последующих работах, будем использовать обозначения  $a = c_{12}$ ,  $b = c_{44}$ ,  $d = c_{11} - c_{12} - 2c_{44}$ . Случай  $d = 0$  соответствует изотропной среде. Полученные к настоящему времени результаты, даже в линейном приближении по параметру анизотропии  $d$  противоречивы. Так, в публикациях [15, 16] и затем в [13] отмечалось, что в работе И. М. Лифшица, Розенцвейга упущены важные слагаемые в тензоре Грина, которые тоже линейны по параметру  $d$ . Авторы работ [13, 16] предложили новые формулы в качестве решения основного уравнения упругости, однако они не сводятся друг к другу. Кроме того, формула Дедерикса, Лебфрида [16] вошла в ряд монографий по теории взаимодействия дефектов (Стоунхэма [3] и др.), а между тем, как будет попутно показано ниже, она не верна. Основная цель данной работы — получить аналитическое выражение для энергии взаимодействия сферически-симметричных частиц произвольной природы в кубической среде с точностью до квадратичных членов по параметру анизотропии  $d$ .

## 2. ТЕНЗОР ГРИНА В СЛУЧАЕ СЛАБОЙ АНИЗОТРОПИИ

Получить аналитическое решение уравнения упругости для тензора Грина

$$\frac{\partial^2 G_{mn}(\mathbf{r})}{\partial X_j \partial X_l} \lambda_{ijml} + \delta_{in} \delta(\mathbf{r}) = 0 \quad (1)$$

с упругими постоянными вида

$$\lambda_{ijkl} = a\delta_{ij}\delta_{kl} + b(\delta_{il}\delta_{jk} + \delta_{ik}\delta_{jl}) + d\delta_{ijkl}, \quad (2)$$

как известно [6], в общем случае невозможно. Можно попытаться найти его в линейном приближении по параметру  $d$ . Такая попытка впервые была предпринята в работе [6]. Однако в связи со сложностью расчета корректного выражения для тензора Грина получить не удалось.

Решение уравнения (1) проводится в два этапа. Вначале, как и в работе [6], используется интегральное фурье-преобразование. Получившаяся в результате такой операции система алгебраических уравнений для фурье-образов [5, 9]

$$G_{xx}(\mathbf{p}) = [b^2 p^4 + b(a+b+d)(p_y^2 + p_z^2)p^2 + d(2a+2b+d)p_y^2 p_z^2]/\Delta, \quad (3)$$

$$G_{xy}(\mathbf{p}) = G_{yx}(\mathbf{p}) = -(a+b)p_x p_y [dp_z^2 + bp^2]/\Delta$$

решается по формулам Крамера, в которых детерминант  $\Delta$  записывается в виде

$$\Delta = Ap^6 + B(p_x^2 p_y^2 + p_x^2 p_z^2 + p_y^2 p_z^2)p^2 + Cp_x^2 p_y^2 p_z^2 \quad (4)$$

при следующих введенных обозначениях:

$$\begin{aligned} A &= b^2(a+2b+d), & B &= bd(2a+2b+d), \\ C &= d^2(3a+3b+d). \end{aligned} \quad (5)$$

Затем проводится обратное преобразование Фурье

$$G_{ij}(\mathbf{r}) = \frac{1}{(2\pi)^3} \int G_{ij}(\mathbf{p}) \exp^{-i\mathbf{p} \cdot \mathbf{r}} dp^3. \quad (6)$$

Для надежности расчета оно проводилось нами двумя способами. В первом определялись корни знаменателя, фигурирующего в выражениях (3), и затем проводилось интегрирование с использованием интегрального представления  $\delta$ -функции.

В другом методе множитель  $e^{i\mathbf{p} \cdot \mathbf{r}}$  раскладывался по сферическим гармоникам

$$e^{i\mathbf{p} \cdot \mathbf{r}} = 4\pi \sum_{l=0}^{\infty} \sum_{m=-l}^l i^l j_l(pr) Y_{lm}(\theta, \phi) Y_{lm}^*(\theta_r, \phi_r), \quad (7)$$

где  $j_l(pr)$  — сферические функции Бесселя. Свойство ортогональности сферических функций позволяет легко выполнить интегрирование по угловым переменным.

В итоге оба метода привели к одинаковым результатам:

$$\begin{aligned} G_{zz}(\mathbf{r}) &= \frac{1}{4\pi br} \left[ 1 - \frac{\beta}{2} \left( 1 - n_z^2 \right) \right] - \\ &- \frac{d}{8\pi b^2 r} \left[ n_p^2 - \frac{3\beta}{2} n_p^4 + \frac{\beta^2}{12} \left( 5(n_x^6 + n_y^6) + \right. \right. \\ &\left. \left. + 10(1 - n_z^6) - 21n_p^2 n_z^2 - 6(n_x^4 + n_y^4) \right) \right], \quad (8) \\ G_{xy}(\mathbf{r}) &= \frac{n_x n_y}{8\pi br} \beta - \frac{dn_x n_y}{32\pi b^2 r} \beta \times \\ &\times \left[ 3(n_z^2 + 1) - \beta \left( 3(n_x^2 + n_y^2) + 5n_z^4 - 5n_x^2 n_y^2 \right) \right]. \end{aligned}$$

Здесь для краткости используются обозначения

$$n_{x,y,z} = \frac{x, y, z}{r}, \quad n_p = \sqrt{n_x^2 + n_y^2}, \quad \beta = \frac{a+b}{a+2b}. \quad (9)$$

Остальные компоненты получаются из приведенных циклической заменой  $x \rightarrow y \rightarrow z \rightarrow x$ . Этот результат затем был проверен путем непосредственной подстановки в уравнение (1).

Отметим, что решение (8) после некоторых алгебраических преобразований сводится к виду тензора Грина, предложеному Остапчуком [13].

## 3. ВЫВОД ФОРМУЛЫ ДЛЯ ЭНЕРГИИ ВЗАИМОДЕЙСТВИЯ

Энергию взаимодействия  $i$ -й частицы с полем деформаций, как и в работе [9], запишем в виде

$$H^i = \sigma_{\alpha\beta}^i \nabla_\beta^i u_\alpha(\mathbf{r}_i). \quad (10)$$

Компоненты вектора смещений  $u_\alpha$  связаны с тензором деформации  $\epsilon_{\alpha\gamma}$  соотношением [1]

$$\epsilon_{\alpha\gamma} = \frac{1}{2} \left( \frac{\partial u_\alpha}{\partial x_\gamma} + \frac{\partial u_\gamma}{\partial x_\alpha} \right). \quad (11)$$

Формула для энергии взаимодействия дефектов, расположенных в точках  $\mathbf{r}_i$  и  $\mathbf{r}_j$  через поле деформаций определяется через тензор Грина следующим образом [2]<sup>2)</sup>:

$$H_{ij} = \sigma_{\alpha\beta}^i \sigma_{\gamma\eta}^j \nabla_\beta^i \nabla_\eta^j G_{\alpha\gamma}(\mathbf{r}_i - \mathbf{r}_j). \quad (13)$$

Мы обсуждаем случай частиц со сферической симметрией, поэтому  $\sigma_{\alpha\beta} = \sigma \delta_{\alpha\beta}$ . Конкретный вид параметра  $\sigma$  определяется спецификой задачи, т. е. он различен для дефектов структуры, электронных оболочек и т. п. Мы сосредотачиваемся на решении общей для всех этих частиц (а также и квазичастиц) проблемы, связанной с упругими свойствами среды, выступающими в качестве переносчика взаимодействия.

Подставляя в (13) выражения для компонент тензора Грина (8), как и в [13, 14], получаем<sup>3)</sup>

$$H_{ij}^{(1)} = \frac{15d(n_x^4 + n_y^4 + n_z^4 - 3/5)\sigma^i\sigma^j}{8\pi(a+2b)^2r^3}. \quad (14)$$

Опишем еще один альтернативный вариант расчета, так как комбинирование вторых производных с компонентами тензора  $\sigma_{\alpha\beta}$  при выводе (14) довольно утомительно. Подставляя выражение (6) в (13),

<sup>2)</sup> Во избежание недоразумений здесь мы явно указываем, что дифференцирование проводится по переменным одного и того же узла. Это обстоятельство, как нам представляется, не было учтено в работе [17] при выводе энергии взаимодействия примесей в стеклах. Формула в (17) не согласуется с результатом, полученным по квантовой теории [9]. Выражение для энергии взаимодействия в изотропной среде, записанное через скорости продольного и поперечного звука  $v_l = \sqrt{(a+2b)/\rho}$ ,  $v_t = \sqrt{b/\rho}$ , соответствующее квантовой теории, имеет вид

$$H_{ij}^{(0)} = \frac{1}{4\pi\rho r_{ij}^3 v_t^2} \left[ 3\sigma_{\alpha\beta}^i \sigma_{\gamma\alpha}^j \frac{x_\alpha x_\beta}{r^2} - \sigma_{\alpha\beta}^i \sigma_{\alpha\beta}^j \right] + \\ + \frac{1}{8\pi\rho r_{ij}^3} \left( \frac{1}{v_t^2} - \frac{1}{v_l^2} \right) \left[ 15\sigma_{\alpha\beta}^i \sigma_{\gamma\delta}^j \frac{x_\alpha x_\beta x_\gamma x_\delta}{r^2} - 3(4\sigma_{\alpha\beta}^i \sigma_{\gamma\alpha}^j + \sigma_{\alpha\alpha}^i \sigma_{\gamma\beta}^j + \sigma_{\gamma\beta}^i \sigma_{\alpha\alpha}^j) \frac{x_\gamma x_\beta}{r^2} + 2\sigma_{\alpha\beta}^i \sigma_{\alpha\beta}^j + \sigma_{\alpha\alpha}^i \sigma_{\beta\beta}^j \right]. \quad (12)$$

Приведенная формула (12) по общему знаку соответствует также формуле (2.7) работы [18], полученной в рамках теории упругости для изотропной среды. Что касается отличия (12) от выражения (16) в работе [9], то оно связано с допущенными при печати опечатками.

<sup>3)</sup> Причина ошибки Эшелби в знаке перед энергией взаимодействия дефектов пояснена в работах [13, 14].

проводим дифференцирование и группировку слагаемых под знаком интеграла. В линейном приближении по параметру  $d$  (при  $r \neq 0$ ) получаем

$$H_{ij}^{(1)} = -2 \frac{\sigma^i \sigma^j}{(2\pi)^3} \frac{d}{(a+2b)^2} \times \\ \times \int \frac{p_x^2 p_y^2 + p_x^2 p_z^2 + p_y^2 p_z^2}{p^4} e^{-i\mathbf{p}\cdot\mathbf{r}} dp^3. \quad (15)$$

Далее, используя формулу (7) и соотношение ортогональности сферических функций, приходим к выражению

$$H_{ij}^{(1)} = \frac{\sigma^i \sigma^j}{2\pi^2} \frac{d}{(a+2b)^2} \left[ \frac{x^4 + y^4 + z^4}{r^4} - \frac{3}{5} \right] \times \\ \times \int_0^\infty j_4(pr) p^2 dp. \quad (16)$$

Оставшийся интеграл вычисляется по известной формуле

$$\int_0^\infty p^2 j_l(pr) dp = \frac{\pi}{r^3 2^{l/2}} \frac{(l+1)!!}{(l/2-1)!}. \quad (17)$$

Итоговое выражение совпадает с (14). Отметим, что описанный метод расчета весьма эффективен и поэтому мы используем его для расчета квадратичной по  $d$  поправки к энергии взаимодействия. В импульсном представлении она определяется выражением

$$H_{ij}^{(2)} = \frac{\sigma_i \sigma_j d^2}{(2\pi)^3 b^2 (a+2b)} \times \\ \times \left\{ \frac{4b(a+b)}{(2b+a)^2} \int_0^\infty \frac{(p_x^2 p_y^2 + p_x^2 p_z^2 + p_y^2 p_z^2)^2}{p^8} e^{-i\mathbf{p}\cdot\mathbf{r}} dp^3 + \right. \\ \left. + \frac{b(2b-a)}{(2b+a)^2} \int_0^\infty \frac{(p_x^2 p_y^2 + p_x^2 p_z^2 + p_y^2 p_z^2)}{p^4} e^{-i\mathbf{p}\cdot\mathbf{r}} dp^3 - \right. \\ \left. - \frac{3b}{(a+2b)} \int_0^\infty \frac{p_x^2 p_y^2 p_z^2}{p^6} e^{-i\mathbf{p}\cdot\mathbf{r}} dp^3 \right\}. \quad (18)$$

В координатном представлении результат удобно записать в виде разложения по функциям, преобразующимся по единичному ( $\Gamma_1$ ) представлению кубических точечных групп [19], т. е. следующим образом:

$$H_{ij}^{(2)} = \frac{\sigma_i \sigma_j d^2}{r^3 2\pi b^2 (2b+a)} \times \\ \times \left\{ A_4 C(4, \Gamma_1) + A_6 C(6, \Gamma_1) + A_8 C(8, \Gamma_1) \right\}, \quad (19)$$

где

$$\begin{aligned} C(4, \Gamma_1) &= \frac{5}{2} \left\{ z^4 + x^4 + y^4 - \frac{3}{5} r^4 \right\} \frac{1}{r^4}, \\ C(6, \Gamma_1) &= \frac{1}{2} \left\{ 7(z^6 + x^6 + y^6) + \right. \\ &\quad \left. + 210x^2y^2z^2 - 5r^6 \right\} \frac{1}{r^6}, \\ C(8, \Gamma_1) &= \left\{ (z^8 + y^8 + x^8) + \right. \\ &\quad + 35(x^4y^4 + x^4z^4 + z^4y^4) - 14(z^6x^2 + y^6x^2 + \right. \\ &\quad \left. + z^6y^2 + y^6z^2 + x^6y^2 + x^6z^2) \right\} \frac{1}{r^8}. \end{aligned} \quad (20)$$

Коэффициенты разложения  $A_i$  равны

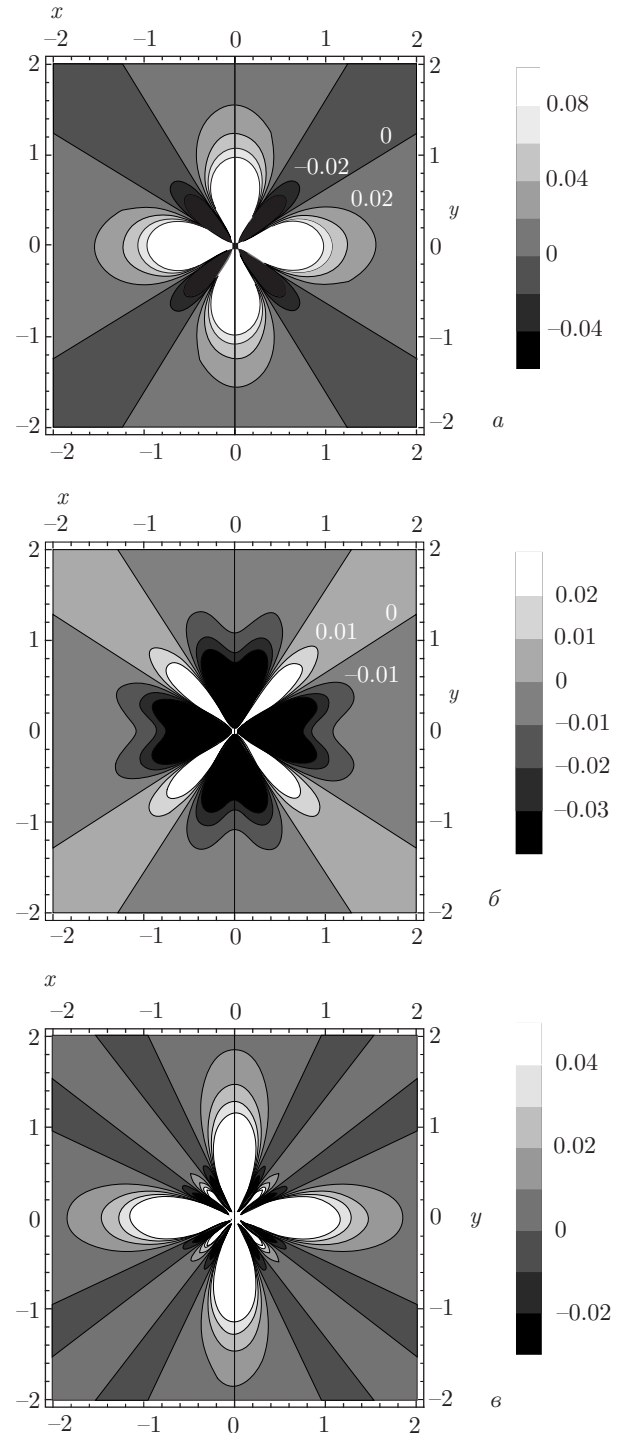
$$\begin{aligned} A_4 &= -\frac{9}{286} \frac{b(3a + 68b)}{(a + 2b)^2}, \quad A_6 = \frac{1}{88} \frac{b(14b - a)}{(a + 2b)^2}, \\ A_8 &= \frac{63}{104} \frac{b(a + b)}{(a + 2b)^2}. \end{aligned} \quad (21)$$

Величины  $A_4$ ,  $A_6$  и  $A_8$  могут быть записаны через скорости продольного и поперечного звука в кристалле. Так, например, если выбрать в качестве направлений оси четвертого и третьего порядков, то три минимально необходимые скорости звука выражаются через  $a$ ,  $b$  и  $d$  следующим образом [20]:

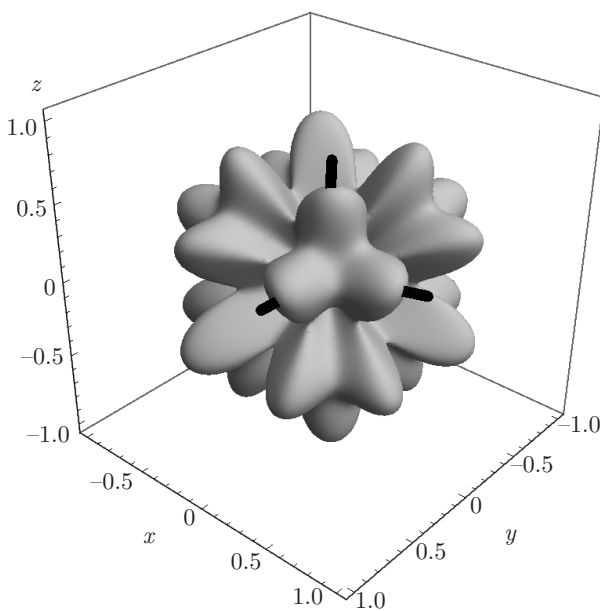
$$\begin{aligned} \nu_{t4} &= \nu_{t2} = \sqrt{b/\rho}, \\ \nu_{l4} &= \nu_{l2} = \sqrt{(d + a + 2b)/\rho}, \\ \nu_{l3} &= \sqrt{(d + 2a + 4b)/\rho}. \end{aligned} \quad (22)$$

#### 4. ДИАГРАММЫ ОБЛАСТЕЙ ПРИТЯЖЕНИЯ И ОТТАЛКИВАНИЯ И ЗАКЛЮЧИТЕЛЬНЫЕ ЗАМЕЧАНИЯ

Область применения теории взаимодействия сферических частиц довольно широка. В качестве еще одной, не упомянутой во введении, укажем физику соединений, активированных редкоземельными ионами. Электрон-деформационное взаимодействие с окружающими ионами решетки главным образом определяется перекрыванием заполненных (т. е. сферически-симметричных) внешних  $5s$ - и  $5p$ -оболочек с ионами решетки. Так, по расчетам Малкина [21] при внедрении редкоземельных ионов в кристаллы типа флюорита ( $\text{CaF}_2$ ) параметр электрон-деформационного взаимодействия  $\sigma_{\alpha\alpha} \sim 2\text{--}7$  эВ. На расстояниях  $r = 7\text{ \AA}$  получаем энергию отталкивания вдоль осей четвертого порядка  $10^{-3}\text{--}10^{-2}$  эВ и энергию притяжения  $10^{-4}\text{--}10^{-3}$  эВ.



**Рис. 1.** Диаграммы энергии взаимодействия двух частиц при  $d > 0$  в относительных единицах, спроектированные на плоскость  $xy$ :  $a$  — линейное приближение по параметру  $d$ ,  $b$  — поправки пропорциональные  $d^2$ ,  $c$  — сумма линейных и квадратичных вкладов. Одна из частиц находится в начале координат, в центре куба. Белые области ( $H_{ij} > 0$ ) и черные ( $H_{ij} < 0$ ) означают соответственно отталкивание и притяжение частиц. Координатные оси направлены вдоль осей четвертого порядка



**Рис. 2.** Поверхность постоянной энергии взаимодействия  $H_{ij}^{(1)} + H_{ij}^{(2)} = \text{const} < 0$  (область притяжения) двух частиц при  $d > 0$  (например, в кристалле CaF<sub>2</sub>) в относительных единицах. Координатные оси направлены вдоль осей четвертого порядка. Черными линиями отмечены направления  $[\cos(\pi/8)^2 \sqrt{2}/4 \sin(\pi/8)]$ ,  $[\sqrt{2}/4 \sin(\pi/8) \cos(\pi/8)^2]$ ,  $[\sin(\pi/8) \cos(\pi/8)^2 \sqrt{2}/4]$  наибольшего притяжения частиц

Области притяжения и отталкивания между частицами зависят от ориентации рассматриваемой пары относительно осей симметрии кубической среды и знака параметра  $d$ . На рис. 1 мы приводим диаграмму областей притяжения и отталкивания для случая  $d > 0$ . На рис. 2 приведено трехмерное изображение областей притяжения. Как видно, частицы наиболее сильно притягиваются вдоль направлений

$$\left[ \cos(\pi/8)^2 \sqrt{2}/4 \quad \sin(\pi/8) \right],$$

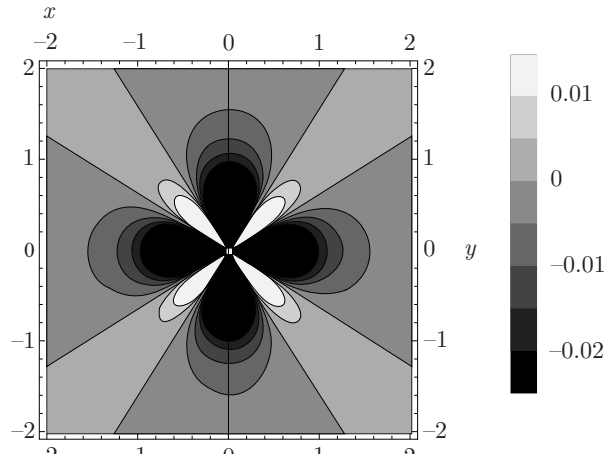
$$\left[ \sqrt{2}/4 \quad \sin(\pi/8) \quad \cos(\pi/8)^2 \right],$$

$$\left[ \sin(\pi/8) \quad \cos(\pi/8)^2 \quad \sqrt{2}/4 \right].$$

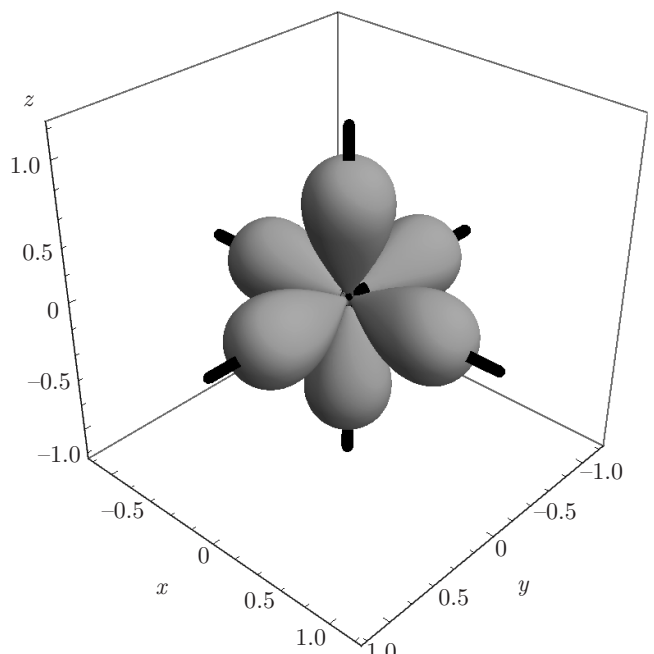
Квадратичные поправки по параметру анизотропии существенно модифицируют области притяжения, «расщепляя» их на части.

Для кристалла MgO при  $d < 0$  [22] (рис. 3, рис. 4), квадратичная поправка усиливает области притяжения, проходящие вдоль осей кристалла.

В заключение отметим, что полученное выражение для тензора Грина и формулы для расчета энергии взаимодействия частиц могут быть обобщены на



**Рис. 3.** Диаграмма энергии взаимодействия двух частиц при  $d < 0$  (например, ионы Mn<sup>2+</sup> в MgO) в относительных единицах, спроектированная на плоскость  $xy$ . Темные зоны ( $H_{ij} < 0$ ) соответствуют притяжению частиц



**Рис. 4.** Поверхность постоянной энергии взаимодействия  $H_{ij}^{(1)} + H_{ij}^{(2)} = \text{const} < 0$  (область притяжения) двух частиц при  $d < 0$  (например, в кристалле MgO). Черными линиями отмечены направления  $[1 \ 0 \ 0]$ ,  $[0 \ 1 \ 0]$ ,  $[0 \ 0 \ 1]$  наибольшего притяжения двух частиц

случай орбитально-вырожденных состояний ионов переходных металлов. И в этом аспекте результаты данной работы выходят за рамки теории взаимодействия сферически-симметричных частиц.

Работа выполнена при частичной финансовой поддержке К(П)ФУ для выполнения государственного задания в сфере научной деятельности (проект № 3.6722.2017/8.9).

## ЛИТЕРАТУРА

1. Л. Д. Ландау, Е. М. Лифшиц, *Теория упругости*, изд. 4, Наука, Москва (1987).
2. А. М. Косевич, *Основы механики кристаллической решетки*, Наука, Москва (1972).
3. A. M. Stoneham, *Theory of Defects in Solids*, Clarendon Press, Oxford (1975) [пер. А. М. Стоунхэм, *Теория дефектов в твердых телах*, Т. 1, Т. 2, Мир, Москва (1978)].
4. J. D. Eshelby, *The Continuum Theory of Lattice Defects*, Sol. State Phys. **3**, 79 (1956) [пер. Дж. Эшельби, *Континуальная теория дислокаций*, Изд-во иностр. лит., Москва (1963)].
5. T. Mura, *Micromechanics in Defects of Solids*, Second Revisited Edition, Martinus Nijhoff Publishers (1987).
6. И. М. Лифшиц, Л. Н. Розенцвейг, ЖЭТФ **9**, 183 (1947).
7. Л. К. Аминов, Б. И. Кочелаев, ЖЭТФ **42**, 1303 (1962).
8. R. Orbach and M. Tachiki, Phys. Rev. **158**, 524 (1967).
9. М. В. Еремин, А. Ю. Завидонов, Б. И. Кочелаев, ЖЭТФ **90**, 537 (1985).
10. К. И. Кугель, Д. И. Хомский, УФН **136**, 621 (1982).
11. D. I. Khomskii and K. I. Kugel, Phys. Rev. B: Cond. Matt. **67**, 134401 (2003).
12. B. I. Kochelaev, A. M. Safina, A. Shengelaya, H. Keller, A. Muller, and K. Conder, Mod. Phys. Lett. B **17**, 415 (2003).
13. П. Н. Остапчук, ФТТ **54**, 92 (2012).
14. С. А. Кукушкин, А. В. Осипов, Р. С. Телятник, ФТТ **58**, 941 (2016).
15. R. A. Masmura and G. Sines, J. Appl. Phys. **41**, 3930 (1970).
16. P. H. Dederichs and G. Leibfried, Phys. Rev. **188**, 1175 (1969).
17. J. L. Black and B. I. Halperin, Phys. Rev. B **16**, 2879 (1977).
18. H. E. Schaeffer and H. Kronmuller, Phys. Stat. Sol. (B) **67**, 63 (1975).
19. А. М. Леушин, *Таблицы функций, преобразующихся по неприводимым представлениям кристаллографических точечных групп*, Наука, Москва (1968).
20. C. Kittel, *Introduction to Solid State Physics*, 8th Edition, Wiley (2005).
21. Б. З. Малкин, в сб.: *Парамагнитный резонанс*, Изд. Казанского университета (1976), вып. 12, с. 3; ФТТ **11**, 1208 (1969).
22. C. Teodosi, *Elastic Models of Crystal Defects*, Springer-Verlag, Berlin Heidelberg, New York (1982), [пер. К. Теодосиу, *Упругие модели дефектов в кристаллах*, Мир, Москва (1985)].